

24

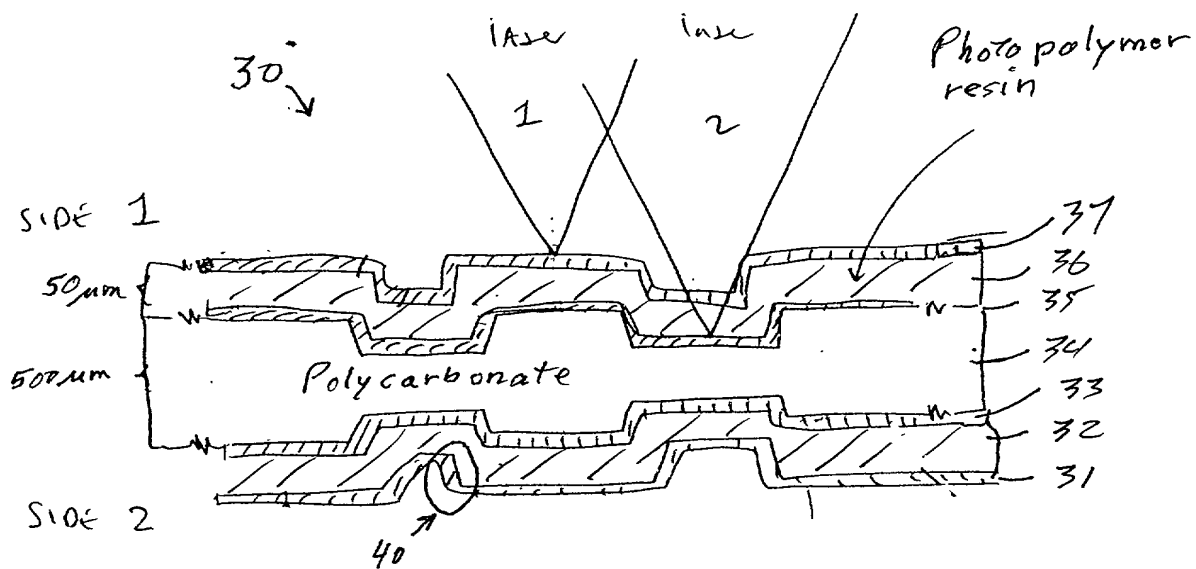


Fig. 3

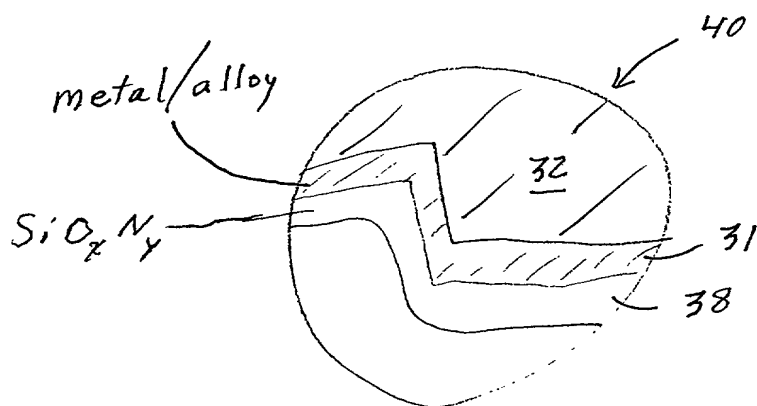


Fig. 4

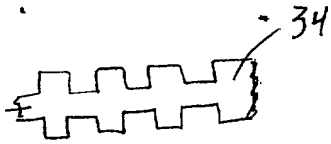


Fig. 5A

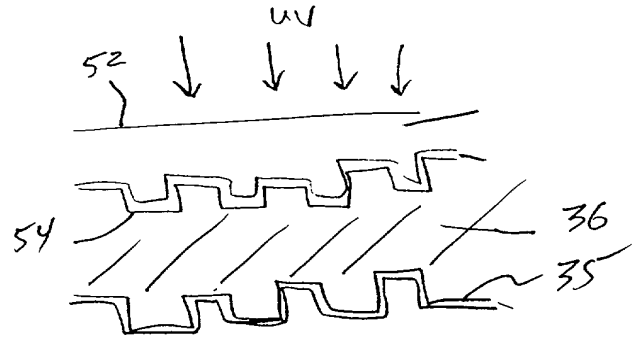


Fig. 5E

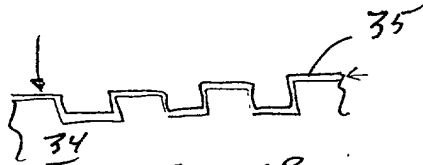


Fig. 5B

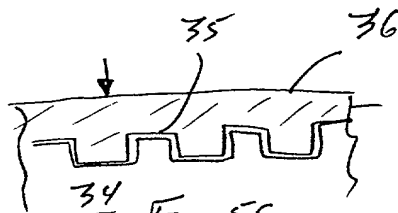


Fig. 5C

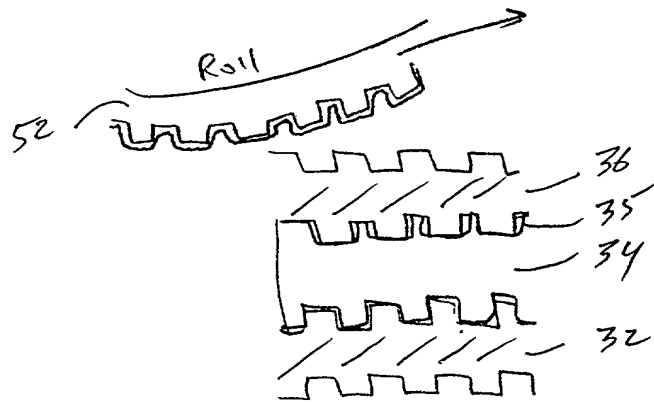


Fig. 5F

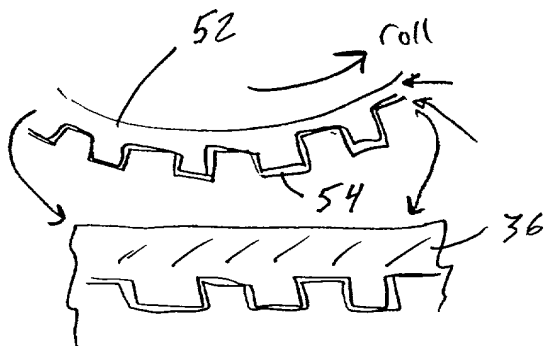


Fig. 5D

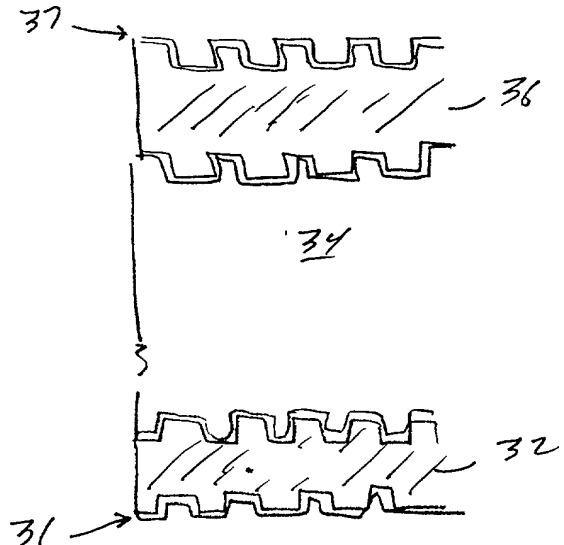
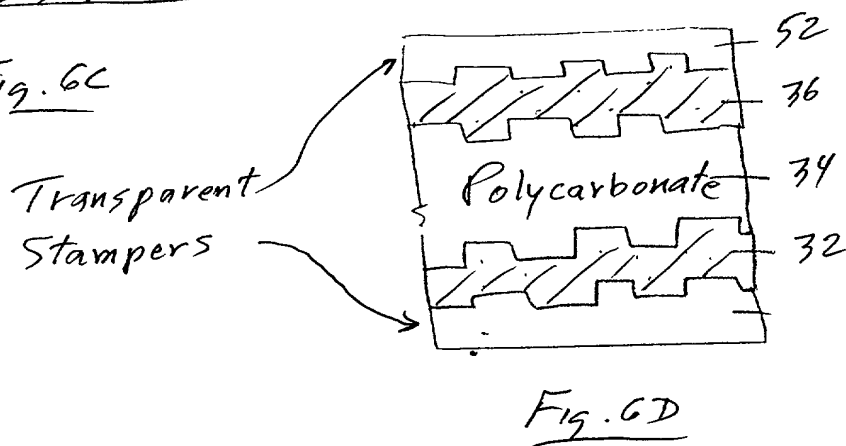
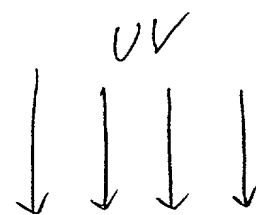
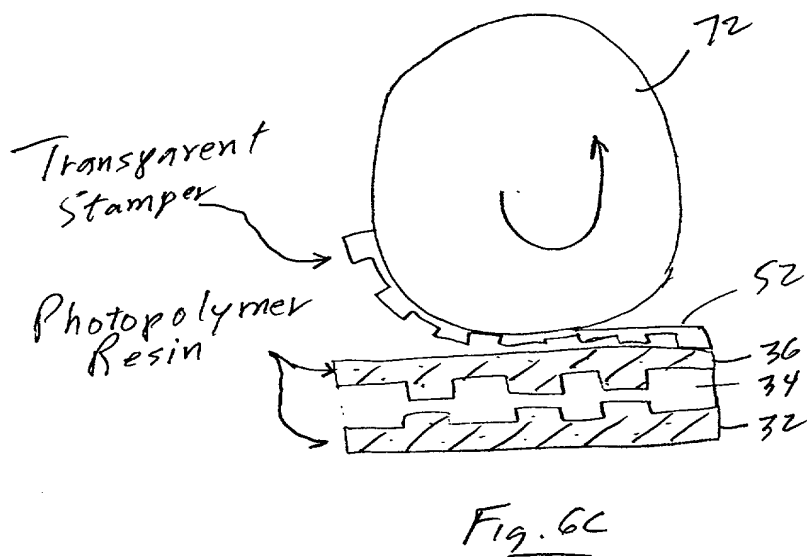
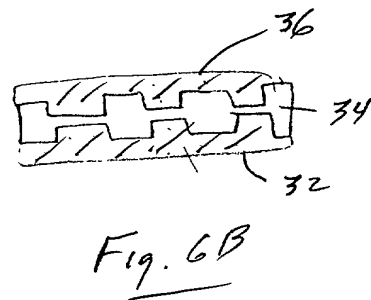
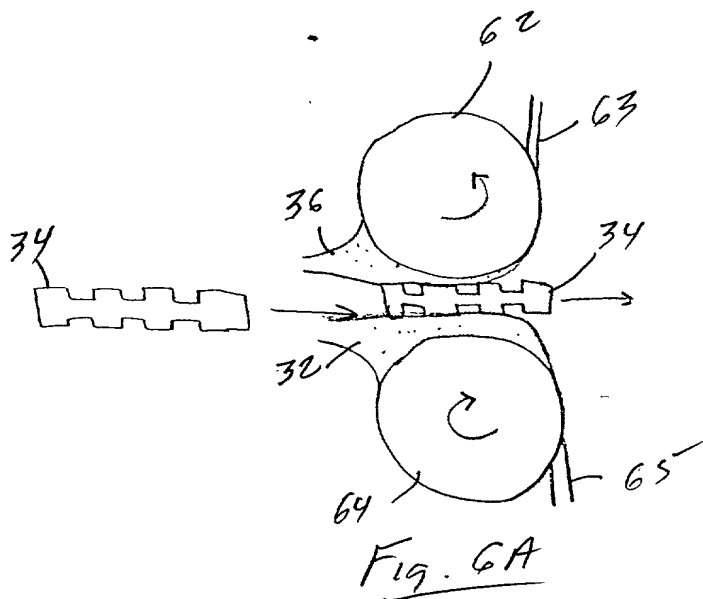


Fig. 5G



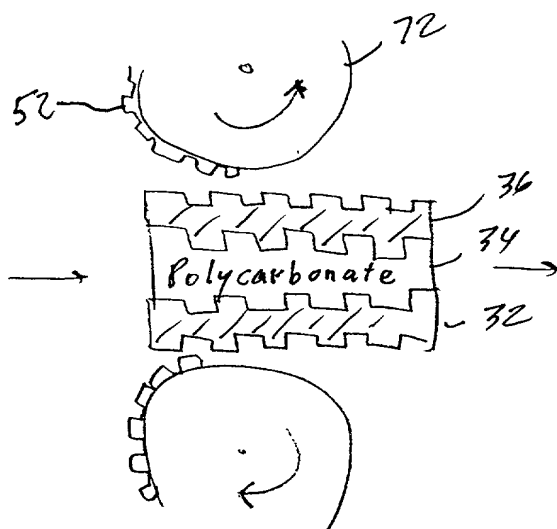


Fig. 6E

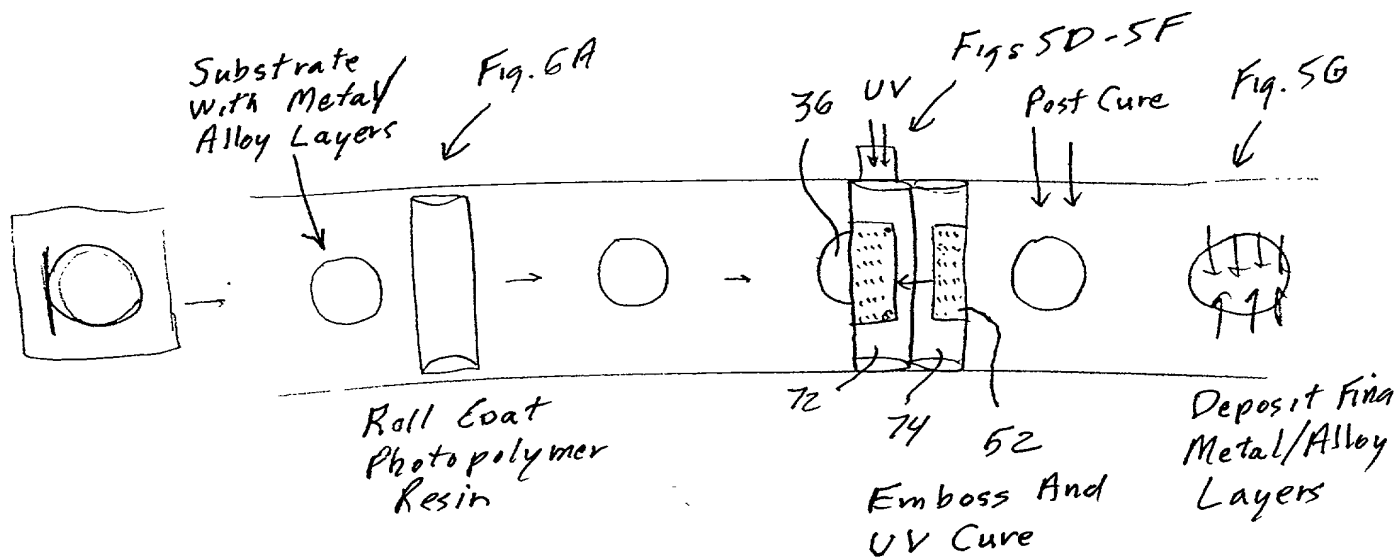


Fig. 7

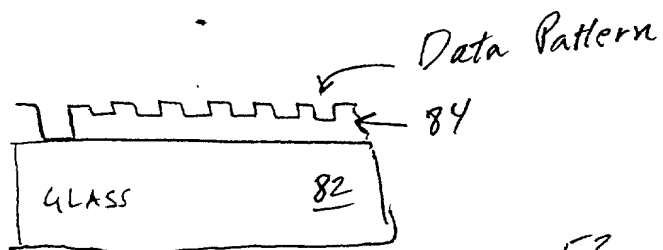


Fig. 8A

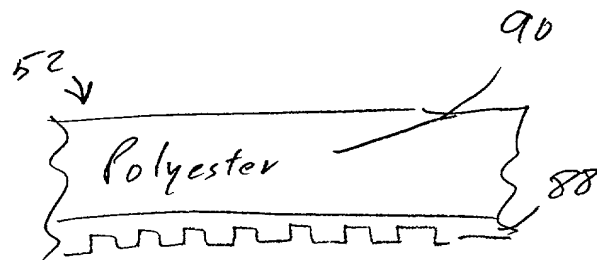


Fig. 8E

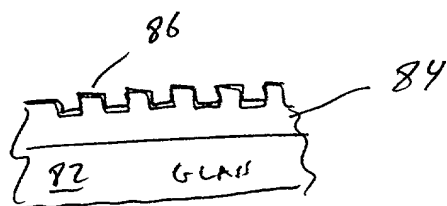


Fig. 8B

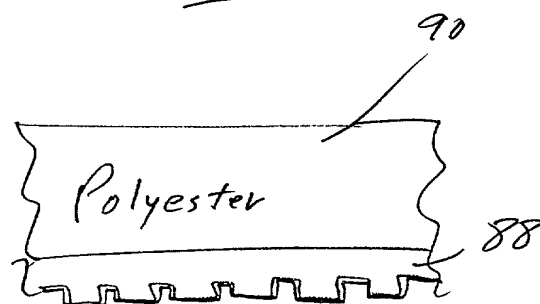


Fig. 8F

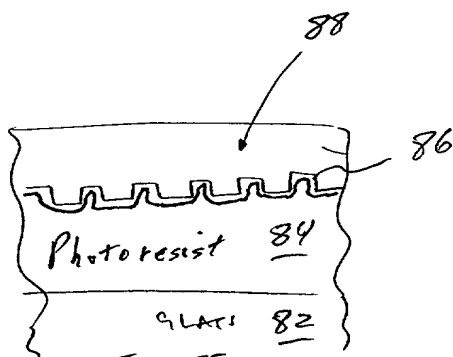


Fig. 8C

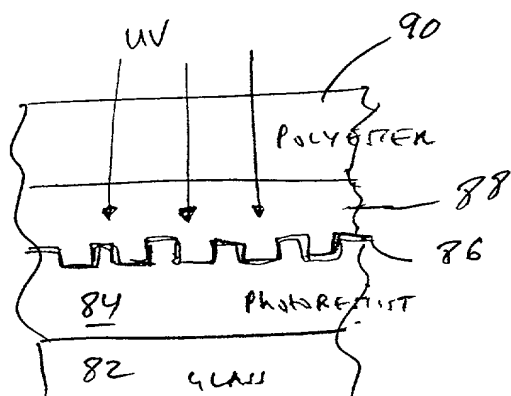


Fig. 8D

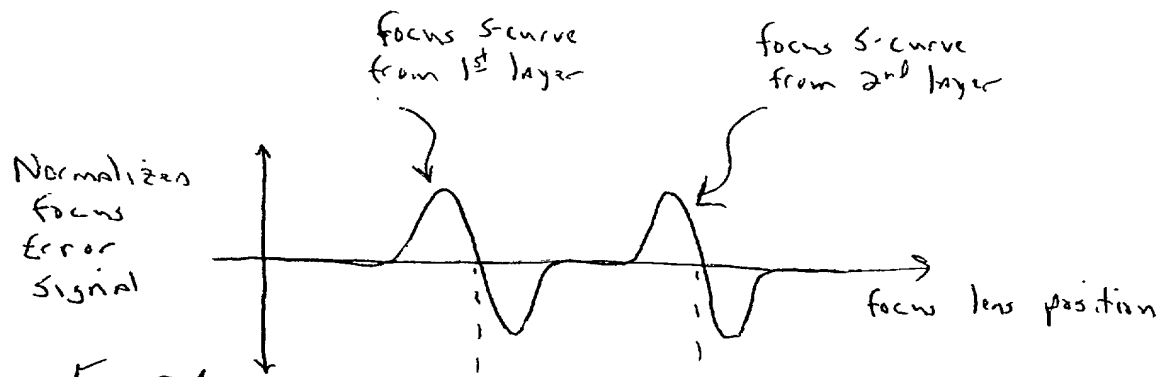


Fig. 9A

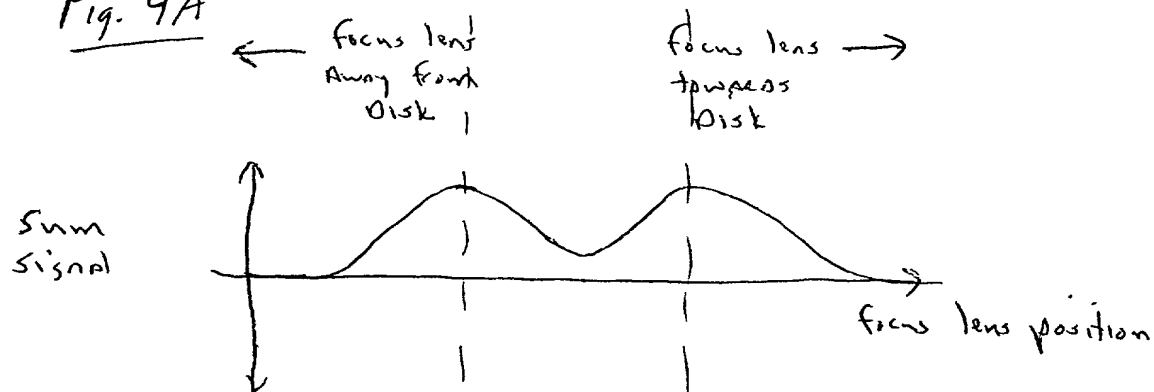


Fig. 9B

1st peak from 1st Layer of disk

2nd peak from 2nd Layer of Disk

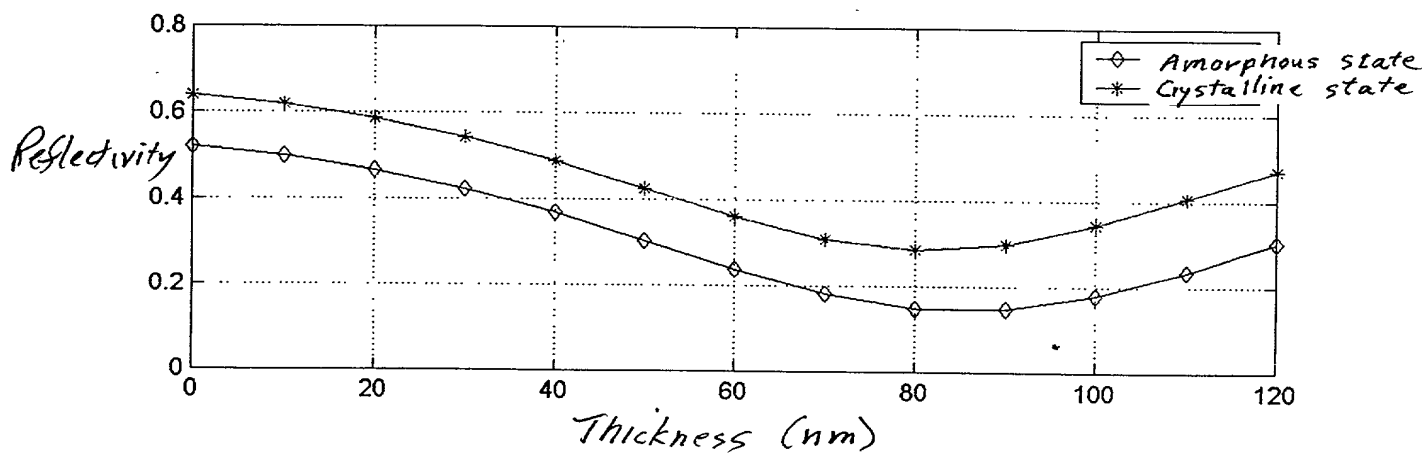


Fig. 10